

УДК 621.58

Моделирование режима двухпозиционного регулирования температуры в термоэлектрических холодильниках с использованием тока паузы

А. ОВСИЦКИЙ,
д-р техн.наук С. ФИЛИН
Щецинский технический университет (Польша)

The paper contains the analysis of operation of a thermoelectric refrigerator at a bang-bang control of temperature in the cabinet with usage of so-called current of a pause – I_p . The obtained effect of a diminution of a refrigerator power consumption depends on an exact selecting of an evocative current, which as contrasted to by condition of regulating ON – OFF makes 1,5 – 2 times. The algorithm of calculation I_p , for a stationary and non-stationary mode of refrigerator operation, based on a method of thermal balances and load characteristics of the thermoelectric modules, is represented.

Термоэлектрические агрегаты широко используются для поддержания температуры от 0 до 12 °C в транспортных холодильниках объемом до 200 л. В последнее время наметилась тенденция постепенного вытеснения абсорбционных и компрессорных холодильных агрегатов термоэлектрическими и в других областях применения: офисная техника, холодильники для гостиниц, встроенные в мебель мини-бары [1, 3, 6]. Об этом же свидетельствует растущее на европейском рынке предложение термоэлектрических холодильников (ТЭХ) объемом свыше 30 л российских, шведских, немецких и испанских производителей.

В бытовых холодильниках и терmostатирующих камерах температура обычно поддерживается с помощью манометрического датчика-реле температуры, в обиходе называемых «термостатами» (не путать с терmostатическими камерами), например термостатами серии ТАМ производства Орловского АО «Орлэкс». Датчик осуществляет пуск – остановку холодильной машины при достижении температурой соответственно верхнего и нижнего пределов настройки датчика. В отличие от терmostатирующих камер, где нужна высокая точность регулирования, в обычных холодильниках переход к использованию термоэлектрического агрегата не требует обязательной замены датчика-реле температуры на другой тип, что диктуется прежде всего экономическими соображениями. Стоимость современных термоэлектрических агрегатов ниже, чем компрессорных или абсорбционных одинаковой производительности, и имеет устойчивую тенденцию дальнейшего сни-

жения. Поэтому относительное удешевление холодильника не может быть сведено на «нет» усложнением и соответственно удорожанием регулятора температуры. Иллюстрацией этому служит ряд термоэлектрических холодильников немецкой фирмы United AC, представленных на выставке IKK2002. В них использован сложный электронный регулятор температуры, в результате чего цена этих холодильников оказалась на 20 – 30 % выше, чем компрессорных аналогов того же изготовителя.

При циклической работе термоэлектрического агрегата с датчиком-реле температуры в период отключения его тока питания (время паузы) происходит интенсивное перетекание теплоты от радиатора горячей стороны агрегата к радиатору холодной стороны. Значительная доля этих утечек происходит непосредственно по ветвям термобатареи, которые представляют собой тепловые мости. В результате температуры двух радиаторов быстро выравниваются. Установка чувствительного элемента термостата на радиаторе, т.е. косвенная регуляция, наиболее распространена на практике [это означает короткая пауза и соответственно высокий коэффициент рабочего времени ($k_{\text{раб}} = \tau_{\text{раб}} / \tau_{\text{цикла}} > 0,85 \dots 0,9$)]. При таких значениях $k_{\text{раб}}$ традиционная двухпозиционная регуляция температуры типа ON-OFF малоэкономична, т.е. практически не дает выигрыша по сравнению с режимом постоянного включения агрегата.

Постановка задачи

Результаты экспериментального исследования режимов работы термоэлектрического холодильника

ХТТ-60 представлены в работах [7, 8]. При использовании двухпозиционной регуляции температуры термоэлектрический агрегат в момент паузы переключается на уменьшенное значение тока I_n . Благодаря этому значение $k_{\text{пр}}$ снижается до 0,25...0,3, а при определенных величинах I_n – даже до нуля, т.е. холодильник по достижении в камере заданной температуры переходит на непрерывную работу при меньшем токе паузы. При этом энергопотребление снижается примерно в 2 раза по сравнению с регуляцией типа ON-OFF. Данные результаты получены при использовании в конструкции холодильника упомянутого выше терморегулятора ТАМ112 и при минимальных изменениях в электрической схеме питания термоэлектрического агрегата.

Вместе с тем проведенные эксперименты пока не охватывают всего диапазона изменений условий работы холодильника, например температуру окружающей среды $T_{\text{окр}}$, настройку терморегулятора, степень загруженности холодильника. Дополнительные ограничения на выбор величины тока в момент паузы накладывает увязка работы вентилятора с процессом регулирования температуры для выравнивания температуры горячей стороны термоэлектрического агрегата в период работы и паузы [7]. В связи с этим вполне оправданной и логичной представляется попытка создания расчетно-теоретической модели данного способа регулирования температуры в ТЭХ.

Исходные данные расчетной модели иллюстрируются рис. 1. Согласно нормативным документам, касающимся ТЭХ малого объема и мини-баров, средняя температура в камере холодильника T_k не должна превышать 2...6 °C. Настройка терморегулятора должна обеспечивать колебания средней температуры в этом диапазоне в режиме циклической работы $I_{\text{раб}} / I_n$. Наиболее экономичным режимом работы ТЭХ является постоянная работа ТЭХ при токе паузы I_n , за исключением случаев увеличения тепловой нагрузки (открытие двери, вложение в камеру теплых продуктов). В этом случае ТЭХ на некоторое время переходит на циклический режим до восстановления теплового равновесия, после чего циклическая регуляция прекращается и холодильник снова работает в режиме I_n . Это означает, что величина I_n должна обеспечить поддержание температуры в камере в непрерывном режиме работы в пределах указанного диапазона, т.е. $I_{k-} > I_n > I_{k+}$, где I_{k-} и I_{k+} – величины тока питания, соответствующие верхней и нижней допустимой температуре. Это первое из трех ограничений, показанное на оси I треугольниками (см. рис.1). Второе граничное условие $I_n > I_{\text{вент}}$ означа-

ет, что ток паузы и связанное с ним относительное напряжение должны быть больше критической величины, при которой осевой вентилятор холодильного агрегата уже не обеспечивает вращения крыльчатки. Для вентиляторов типа В80 и его зарубежных аналогов напряжение гарантированного запуска составляет около 50 % номинального, или для нашего случая 6 ± 0,5 В, из

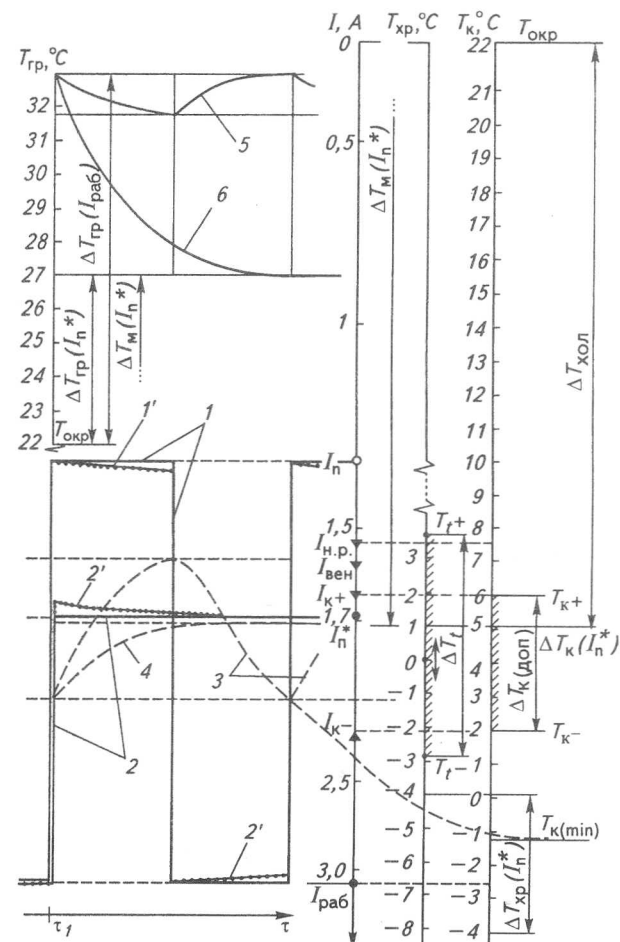


Рис. 1. Графическое представление взаимосвязи параметров T_k , $T_{\text{хр}}$ и I и их изменение во времени:
 1, 1' – соответственно теоретическая и экспериментальная зависимости тока питания во времени при двухпозиционном регулировании ($I_n < I_{\text{нр}}$);
 2, 2' – соответственно теоретическая и экспериментальная зависимости тока питания во времени при непрерывной работе агрегата на токе паузы ($I_n > I_{\text{нр}}$); 3 – соответствующее кривым 1 изменение во времени (ось τ) средней температуры в камере при двухпозиционном регулировании; 4 – соответствующее кривым 2 изменение средней температуры в камере после переключения в момент τ_1 тока с $I_{\text{раб}}$ на I_n ; 5 – соответствующее кривым 1, 3 изменение температуры горячего радиатора; 6 – соответствующее кривым 2, 4 изменение температуры горячего радиатора (остальные обозначения расшифрованы в тексте)

чего следует, что $U_n/U_{\text{раб}} > 0,542$ и $I_n/I_{\text{раб}} > 0,542$. Третье граничное условие $I_n > I_{n,p}$ (где $I_{n,p}$ – ток настройки регулятора) увязывает величину I_n с температурой в камере через температуру холодного радиатора T_{xp} и лимитирует также настройку терморегулятора. Иными словами, температура холодного радиатора в режиме I_n не должна превышать температуру T_{xp} срабатывания терморегулятора на включение рабочего тока $I_{\text{раб}}$, что гарантирует невозвращение агрегата к нежелательному циклическому режиму работы. Шкалы температур на осях T_{xp} и T_k сдвинуты относительно друг друга на величину $\Delta T_{xp}(I_n^*)$, представляющую собой разность средних во времени и по поверхности температур в камере и холодном радиаторе при токе паузы. Величина ΔT_x зависит от тока питания, а для циклического режима вообще является переменной, но для упрощения дальнейшего анализа принимаем ее постоянной и не зависящей от I_n . На основании экспериментальных данных, полученных на разных моделях ТЭХ [4], разность температур горячего радиатора и окружающей среды, т.е. $\Delta T_{\text{раб}}$, также можно принять постоянной в сравнительно узком диапазоне изменения тока паузы. Данное допущение, как и второе граничное условие, справедливы для простой параллельной схемы питания вентилятора и термоэлектрического модуля (группы модулей), которая применяется в подавляющем большинстве конструкций ТЭХ.

Принятые допущения.

Холодильник работает от сети переменного тока $U = 220$ В и запитывается через преобразователь ~ 220 В/24 В, имеющий постоянный КПД преобразования, который в данной модели не учитывается.

В рассматриваемом диапазоне изменения параметров системы постоянными принимаются: напряжение сети; напряжения $U_{\text{раб}}$, U_n на выходе источника питания в режимах работы и паузы; величины $I_{\text{раб}}$, I_n (средние за время работы и паузы соответственно); температура окружающей среды $T_{окр}$; зона нечувствительности термостата ΔT_b ; величины ΔT_{xp} и $\Delta T_{\text{раб}}$; коэффициент K теплопередачи шкафа ТЭХ.

Настройка терморегулятора соответствует условию: $(T_t^+ - T_t^-) \in \Delta T_{k(\text{доп})}$, что отражено на рис.1.

Холодный радиатор работает в так называемом плачущем режиме, т.е. иней на нем не образуется.

Влаговыпадение не учитывали.

Математическая модель

Целью создаваемой модели является минимизация суточного энергопотребления ТЭХ путем установления зависимости суточного энергопотребления холодильни-

ка от величины тока паузы. В рамках модели следует рассмотреть отдельно стационарный (при работе на токе I_n^*) и нестационарный (на токе $I_{\text{раб}}$) режимы работы холодильника.

Суточное энергопотребление E холодильника ($\text{kBt}\cdot\text{ч}/\text{сут}$)

$$E = E_{\text{раб}} + E_{\text{паузы}} = W_{\text{раб}}\tau_{\text{раб}} + W_n(24 - \tau_{\text{раб}}), \quad (1)$$

где $\tau_{\text{раб}}$ – суммарное время работы холодильника при рабочем токе питания, ч.

Для режимов работы и паузы мощность, потребляемая холодильником от сети постоянного тока, определяется выражением

$$W = NW_m + W_{\text{вент}}, \quad (2)$$

где W_m , $W_{\text{вент}}$ – мощности, потребляемые модулем и вентилятором.

В свою очередь,

$$W_m = UI = I^2 / R_{(t)} = U^2 / R_{(t)}; \quad (3)$$

$$W_{\text{вент}} = UI = U^2 / R_w, \quad (4)$$

где $R_{(t)}$ – электрическое сопротивление модуля в соответствующих условиях работы;

R_w – электрическое сопротивление вентилятора, которое также принимаем постоянным и не зависящим от напряжения питания.

Схема включения вентилятора в агрегате соответствует условию

$$U_{\text{вент}} = NU_m/2, \quad (5)$$

где N – количество модулей в агрегате.

Расчет стационарного режима работы. Как показывает предварительный анализ (см. рис.1), при правильной настройке термостата наибольшее ограничение на минимально возможное значение тока паузы накладывает условие поддержания температуры в камере в пределах установленного диапазона. Поэтому первой нашей задачей является определение значения I_{n^*} для обеспечения непрерывной работы агрегата на этом токе.

В общем виде тепловой баланс холодильника в стационарном режиме записывается следующим образом:

$$\Sigma Q_i = Q_0, \quad (6)$$

где Q_0 – холодопроизводительность агрегата в данном режиме работы;

ΣQ_i – сумма теплопритоков к камере холодильника.

Учитывая, что в стационарном режиме работы две-ри холодильника не открываются, новые продукты не загружаются, а внутренних источников теплоты в камере нет, упомянутая сумма сводится к мощности теплопритоков через изоляцию. Тогда

$$\Sigma Q_i = KF(T_{окр} - T_k), \quad (7)$$

где F – средняя поверхность теплообмена через стеки между камерой ТЭХ и окружающей средой; $T_{окр}$ – температура окружающей среды (помещения); T_k – текущая средняя температура* воздуха в камере холодильника.

Согласно [1,8] холодопроизводительность модуля можно выразить через его нагрузочную характеристику и паспортные данные в виде зависимости

$$Q_0 = N \left\{ c_\Delta \Delta T_{\max} \left[1 - \left(1 - \frac{I}{I_{\text{опт}}} \right)^{2+c_i} \right] - c_i (T_w - T_{rp}) - c_\Delta (T_{rp} - T_{xp}) \right\}, \quad (8)$$

где $I_{\text{опт}}$ – оптимальный ток питания (при котором достигается ΔT_{\max});

$$c_\Delta = Q_{0\max} / \Delta T_{\max};$$

c_i, c_Δ – эмпирические коэффициенты;

ΔT_{\max} – максимальная разность температур, создаваемая модулем при нулевой тепловой нагрузке ($Q_0 = 0$);

T_w – определяющая температура (температура горячего радиатора, при которой определяются ΔT_{\max} и $Q_{0\max}$);

T_{rp}, T_{xp} – средняя температура поверхности соответственно горячего и холодного радиаторов.

Формула (8) рекомендуется для использования в диапазоне токов питания $(0,3 - 0,9)I_{\text{опт}}$, который покрывает интересующий нас диапазон. Приравняв (6) и (7) и решая уравнение относительно текущего тока I с учетом того, что

$$\Delta T_m = \Delta T_{kol} + \Delta T_{rp} + \Delta T_{xp}, \quad (9)$$

где ΔT_m – текущая разница температур (брутто) термоэлектрического модуля (между поверхностями радиаторов);

ΔT_{xp} – разница температур в камере и холодного радиатора;

ΔT_{rp} – разница температур горячего радиатора и окружающей среды;

ΔT_{kol} – перепад температур, создаваемый холодильником,

после преобразований получаем искомую зависимость (10), где в правой части переменной величиной является только температура холодного радиатора, связанная с температурой камеры выражением (11):

$$I(T) = I_{\text{опт}} \left\{ 1 - \left[\frac{Nc_\Delta \Delta T_{\max} - KF(T_{окр} - T_{xp} - \Delta T_{xp})}{Nc_\Delta \Delta T_{\max}} - \frac{Nc_i(T_w - T_{rp}) - Nc_\Delta(T_{rp} - T_{xp})}{Nc_\Delta \Delta T_{\max}} \right]^{\frac{1}{2+c_i}} \right\}; \quad (10)$$

$$T_k = T_{xp} + \Delta T_{xp}. \quad (11)$$

Нестационарный режим работы.

Возникает в результате нарушения теплового равновесия в камере после открытия двери и вложения в нее теплых продуктов (имеющих температуру $T_{окр}$). Спустя некоторое время после этого температура в камере повышается от T_k до T_{k2} . Если $T_{k2} > T_{hp}$, срабатывает термостат на включение и ток питания переключается с I_n на $I_{\text{раб}}$.

В нестационарном режиме холодопроизводительность Q_0 агрегата выше суммы теплопритоков ΣQ_i , а разница между этими двумя величинами идет на охлаждение продуктов и воздуха в камере. Таким образом, тепловой баланс этого режима запишется в виде

$$Q_0 - \Sigma Q_i = \frac{mc(T_{окр} - T_k)}{\tau}, \quad (12)$$

где τ – время охлаждения продуктов от температуры $T_{окр}$ до T_k .

Искомой величиной при расчете этого режима является время $\tau_{\text{раб}}$ из зависимости (1). Отсюда

$$\tau = \frac{mc(T_{окр} - T_k)}{Q_0 - kF \left(T_{окр} - \frac{T_k + T_{k2}}{2} \right)}. \quad (13)$$

Здесь температура T_k зависит от тока питания агрегата, а $Q_0 = (Q_{01} + Q_{02})/2$, причем

$$Q_{01} = N \left\{ c_\Delta \Delta T_{\max} \left[1 - \left(1 - \frac{I}{I_{\text{опт}}} \right)^{2+c_i} \right] - c_i (T_w - T_{rp}) - c_\Delta (T_{rp} - T_{xp1}) \right\}; \quad (14)$$

$$Q_{02} = N \left\{ c_\Delta \Delta T_{\max} \left[1 - \left(1 - \frac{I}{I_{\text{опт}}} \right)^{2+c_i} \right] - c_i (T_w - T_{rp}) - c_\Delta (T_{rp} - T_{xp2}) \right\}. \quad (15)$$

В свою очередь, $T_{xp2} = T_k - \Delta T_x$, а $T_{xp1} = T_{k2} - \Delta T_x$. Далее следует определить T_{k2} .

Согласно [2] это же время при более точном расчете может быть найдено из выражения

$$\tau = \frac{mc}{n(\alpha I + k)} \ln \frac{Q_{01}}{Q_0}, \quad (16)$$

где n – количество термоэлементов;

α – коэффициент термоЭДС;

Q_{01} и Q_0 – холодопроизводительности агрегата в начальный и конечный момент времени.

В зависимостях (13) и (16) под mc следует понимать полную массовую теплоемкость новых продук-

*Далее в тексте под температурой в камере имеется в виду средняя температура, если не оговорено иначе. Методика ее измерения и усреднения описана в [1].

тов $m_{\text{н.пр}} c_{\text{н.пр}}$ и воздуха в камере. Принимаем, что из-за кратковременного открытия двери температура стенок камеры и внутренних, конструктивных элементов (например, полки) не успевает измениться, однако во время одного открытия двери происходит полная однократная замена воздуха в камере, что отражено в формуле

$$mc = m_{\text{н.пр}} c_{\text{н.пр}} + V \rho_b c_b N_d, \quad (17)$$

где N_d – число открытий двери за искомое время t ;

V – объем камеры;

ρ_b – плотность воздуха в камере.

Поскольку число открытий двери в сравнительно короткий отрезок времени обычно не превышает двух, а теплоемкость воздуха мала по сравнению с теплоемкостью продуктов, вторым членом в выражении (17) в дальнейших расчетах можно пренебречь. Отсюда же следует, что для определения $T_{\text{раб}}$ принципиальное значение имеет не само открытие двери, а факт вложения новых продуктов. Предположив, что загрузка холодильника новыми продуктами происходит один раз в день, определим степень их влияния на температуру $T_{\kappa 2}$.

Переключение режима питания агрегата с I_n на $I_{\text{раб}}$ происходит не сразу, а спустя некоторое время после загрузки теплых продуктов. Это означает, что холодоизделийность агрегата в этот отрезок времени расходуется на погашение теплопритоков извне и позволяет нам записать тепловой баланс камеры в следующем виде:

$$MCT_k + mcT_{\text{окр}} = (MC + mc)T_{\kappa 2}, \quad (18)$$

откуда

$$T_{\kappa 2} = \frac{MCT_k + mcT_{\text{окр}}}{MC + mc}, \quad (19)$$

где MC – полная массовая теплоемкость содержимого камеры холодильника, в том числе «старых» продуктов.

Величину m можно определить, исходя из норм дневного рациона питания человека, в котором охлажденные продукты составляют примерно 1,5 кг на человека. Если холодильник пользуются двое, то $m = 3$ кг. Определить m можно также, используя в расчете следующие величины:

коэффициент заполнения объема $k_{\text{зап}}$ (обычно принимается в пределах 0,2 – 0,35 кг/дм³);

коэффициент оборота продуктов $k_{\text{обор}}$, т.е. величина, обратная количеству дней, в течение которых полностью обновляется содержимое холодильника.

Принимая для холодильника малого объема величины $k_{\text{зап}} = 0,25$ и $k_{\text{обор}} = 0,2$, получаем:

$$m = V k_{\text{зап}} k_{\text{обор}} = 60 \cdot 0,25 \cdot 0,2 = 3 \text{ кг}. \quad (20)$$

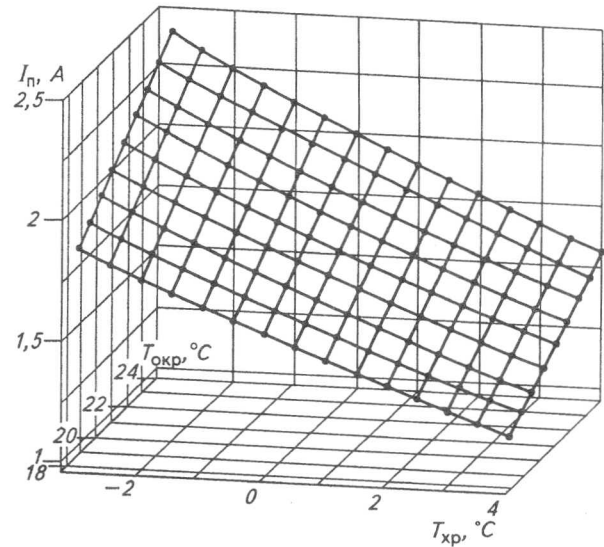


Рис.2. Расчетная зависимость тока паузы I_n от температуры холодного радиатора T_{xp} и температуры окружающей среды $T_{\text{окр}}$

Тогда масса «старых» продуктов $M^* = V k_{\text{зап}} - m = 12$ кг.

Масса M в выражении (19) складывается из половины массы изоляции холодильной камеры $M_{\text{из}}$, массы элементов агрегата (холодного радиатора) $M_{\text{агр}}$, находящихся в камере, массы оборудования камеры (полок) $M_{\text{обор}}$ и массы продуктов M^* :

$$M = M_{\text{из}}/2 + M_{\text{агр}} + M_{\text{обор}} + M^*. \quad (21)$$

Применимально к рассматриваемому холодильнику ХТТ-60 можно, например, записать, что

$$M = 1,8 + 1,3 + 0,3 + 12 = 15,4 \text{ кг}.$$

Вводя понятие относительной массы $\varphi = M/m$ ($\varphi \sim 5$) и еще одно упрощение, что теплоемкости C и c равны (это можно утверждать с погрешностью, не превышающей 5 – 6 %), получим

$$T_{\kappa 2} = \frac{\varphi T_k + T_{\text{окр}}}{\varphi + 1} = \frac{\varphi T_k + T_k + \Delta T_{\text{хол}}}{\varphi + 1} = T_k + \frac{1}{\varphi + 1} \Delta T_{\text{хол}}, \quad (22)$$

или для нашего случая

$$T_{\kappa 2} = T_k + \Delta T_{\text{хол}}/6.$$

Примеры расчетов

При расчете режимов работы холодильника ХТТ-60 по вышеописанной методике и с учетом ранее проведенных испытаний [7, 8] были приняты следующие исходные данные:

$$\Delta T_{\text{хол}} = 4,2 \text{ °C}; \Delta T_{\text{гр}} = 5 \text{ °C}; k = 0,9 \text{ Вт}/(\text{м}^2 \cdot \text{К}); F = 1,07 \text{ м}^2.$$

Результаты расчетов представлены на рис.2. Для $T_{\text{окр}} = 22$ °C нижнее граничное значение тока паузы, определенное по зависимости (10), составляет $I_n = 1,66$ А. Для этого значения выполняются все граничные условия, а температура поверхности холодного радиатора составляет $T_{\text{хол}} = 1,8$ °C ($T_k = 6$ °C). Определенное расчетным

путем значение хорошо согласуется с данными экспериментов [7, 8]. Для этого значения время охлаждения продуктов, рассчитанное по вышеприведенной методике, составляет $\tau = 1,96$ ч, а суточный расход электроэнергии $E = 0,613$ кВт·ч без учета энергетических потерь в блоке питания термоэлектрического агрегата, которые могут составлять от 7 – 8 до 25 % в зависимости от типа используемого преобразователя напряжения.

Таким образом, сделана попытка создания полуэмпирической расчетно-теоретической модели термоэлектрического холодильника с двухпозиционной регуляцией температуры в камере при использовании так называемого тока паузы. Созданную упрощенную модель можно рассматривать как первый этап создания более сложной и более адекватной модели работы холодильника.

Удовлетворительное совпадение полученных расчетных и экспериментальных данных свидетельствует о принципиальной возможности расчетного определения тока паузы после испытаний холодильника. Границы применимости данной методики подлежат уточнению в дальнейших исследованиях.

Список литературы

1. Аракелов Г.А., Васильев Ю.В., Гордеев В.С. Термоэлектричество – настоящее и будущее холодильной техники. – Холодильное дело, 1997. № 2.
2. Наэр В.А., Гарачук В.К. Теоретические основы термоэлектрического охлаждения. – Одесса, 1982.
3. Филин С.О. Термоэлектрические холодильники для яхт и маломерных судов // Судоходство. 1999. № 4.
4. Филин С.О., Журбенко С.О., Варюхина Л.Н. Транспортный термоэлектрический холодильник ХТТ-30 // Холодильная техника и технология, 1994. Вып. 56.
5. Филин С.О., Задирака В.Ю. Расчет термоэлектрических холодильников по нагрузочным характеристикам источника холода // Инж. физ. журн. 1991. Т. 60. № 2.
6. Filin S. Termoelektryczne urządzenia chłodnicze. IPPU Masta, Gdańsk, 2002.
7. Filin S., Zakrzewski B., Owsicki A. The operational characteristics of thermoelectric refrigeration using a “current of thermal lock” in on-off temperature regulation. Journal of Thermoelectricity, n. 4, 2000.
8. Filin S., Zakrzewski B., Owsicki A. Effective methods of cold productivity regulation of thermoelectric refrigeration. – 2-nd International Workshop of Non-compression Cooling & Refrigeration. Odessa, 3-5.10.2001.
9. Philin S.O., Danko V.A. Rational methods and means for temperature control in domestic thermoelectric refrigerators and thermostats. – Journal of Thermo-electricity, No.2, 1998.